

Morliny, st. 1

Gmina Ostróda

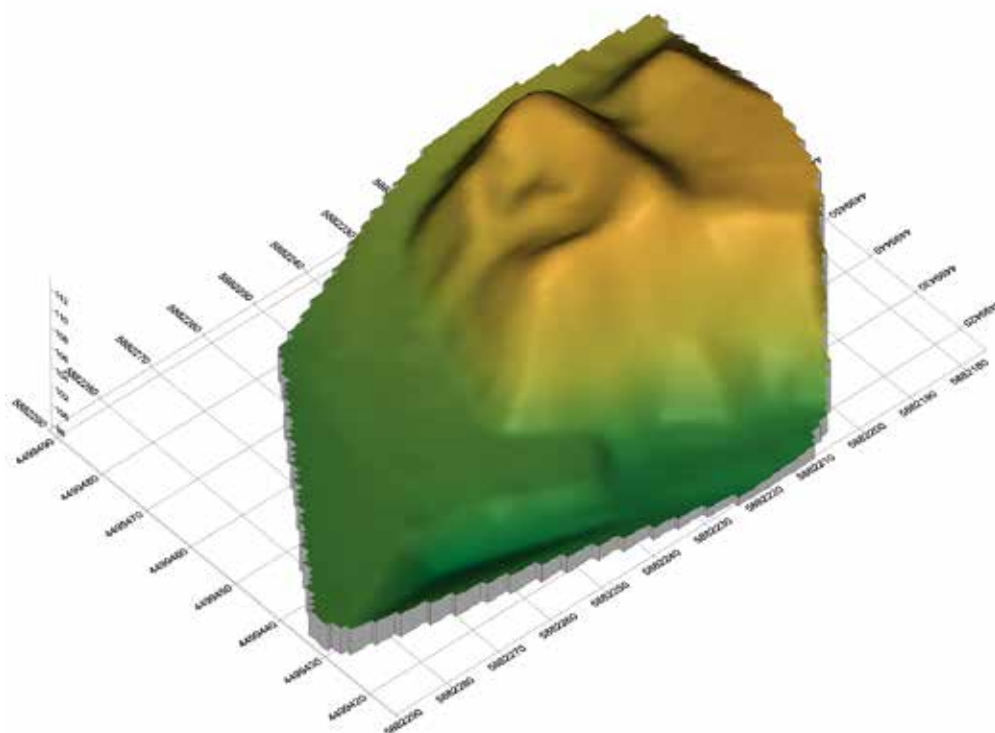
Powiat ostródzki

AZP 26-56/11

Współrzędne geograficzne:

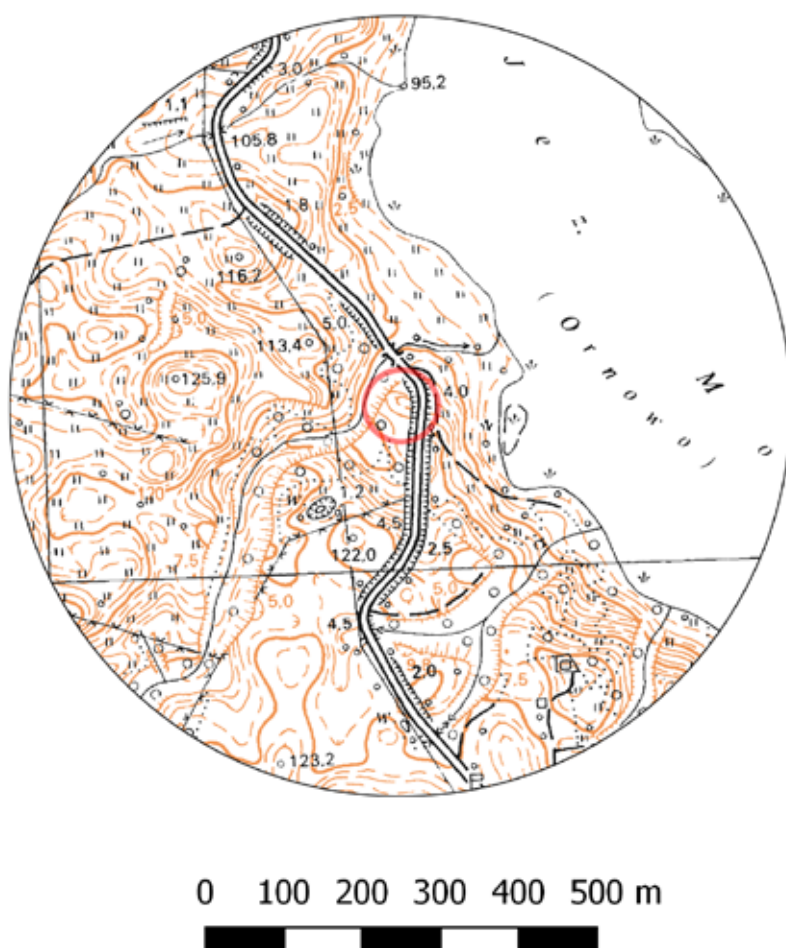
N 53°40'35"

E 19°56'1''





Ryc. 1. Grodzisko w Morlinach, st. 1 na mapie w skali 1:25000 (na podstawie materiałów CODGiK, oprac. R. Solecki)



Ryc. 2. Grodzisko w Morlinach, st. 1 na mapie w skali 1:10000 (na podstawie materiałów CODGiK, oprac. R. Solecki)

POŁOŻENIE GRODZISKA I JEGO FORMA

MAGDALENA RUTYNA

Grodzisko położone jest na cyplu pomiędzy brzegiem jeziora Morliny a strumieniem Czerwona Woda (ryc. 1-2). Nieregularny majdan, o wymiarach około 12 x 15 m, otacza od wschodu, zachodu i południa wał (o wysokości maksymalnie 6 m). Od strony południowej grodzisko odcięte jest suchą fosą (o szerokości około 4 m) (ryc. 3-8).

ŚRODOWISKO FIZYCZNO-GEOGRAFICZNE

JERZY NITYCHORUK I FABIAN WELC

Na *Szczegółowej mapie geologicznej Polski w skali 1:50 000, arkusz Ostróda*¹ grodzisko w Morlinach, st. 1 znajduje się na piaskach i żwirach rynien subglacialnych, natomiast jego otoczenie stanowią gliny zwałowe stadiału górnego zlodowacenia Wisły. Od północnego-zachodu obiekt sąsiaduje z głębokim rozcięciem erozyjnym wypełnionym przez piaski i żwiry rzeczne den dolinnych. Rozcięcie kończy się w jeziorze Morliny dużym stożkiem napływowym (ryc. 9).

Przez grodzisko wykonano przekrój geologiczny A-B oparty na 8 wierceniach (ryc. 10-11). W wierceniu Mo – 1 wykonanym u podnóża grodu stwierdzono osady piaszczyste z organiką i mułkiem stanowiące typowe osady wypełnienia rozcięcia erozyjnego. W obrębie majdanu nawiercono piaski drobnoziarniste przewarstwione mułkiem, których górna przypowierzchniowa część została przekształcona przez człowieka do głębokości maksymalnie 1,0 m (Mo – 3). Wiercenie Mo – 4 wykonane na wale południowym udokumentowało 1,3 m miąższości nasyp wału, a wiercenie Mo – 9 wykonane na najwyższym punkcie wału 1,7 m nasyp. Wiercenie Mo – 7 wykazało istnienie fosy o wypełnieniu 1,3 m miąższości. Poza fosą na S nie stwierdzono śladów działań człowieka.

BADANIA ARCHEOLOGICZNE

MAGDALENA RUTYNA

Przebieg badań terenowych

Grodzisko w Morlinach, st. 1 znane było już w XIX w. W 1827 r. J.M. Guise przeprowadził na tym stanowisku prace inwentaryzacyjne. Po II wojnie światowej grodzisko dwukrotnie było obiektem badań powierzchniowych (1949 - J. Antoniewicz²; 2002 - M.

¹ Pikies 2015.

² Grodzisko zidentyfikowane w terenie zostało przez J. Antoniewicza, który uznał je za znajdujące się w miejscowości



Ryc. 3. Morliny, st. 1. Widok grodziska od wschodu (fot. J. Wysocki)



Ryc. 4. Morliny, st. 1. Widok grodziska od północy (fot. J. Wysocki)



Ryc. 5. Morliny, st. 1. Widok od południa na wał i majdan (fot. J. Wysocki)



Ryc. 6. Morliny, st. 1. Widok od zachodu na wał i majdan (fot. J. Wysocki)



Ryc. 7. Grodzisko w Morlinach na zobrazowaniu ALS (na podstawie materiałów CODGiK, oprac. R. Solecki)

Hoffmann i A. Mackiewicz³). Pierwsze badania wykopaliskowe miały miejsce w 2012 r. (S. Wadył). W południowej części grodziska, na stoku wału, założono wykop sondażowy (2 x 5 m). W trakcie eksploracji, na głębokości 60 cm od stropu wykopu, zarejestrowano wówczas „układ kamieni przypominający łukowato biegnący murek, składający się z kamieni o średnicach od kilku do około 30 cm”⁴. W czasie tych badań znaleziono tylko pięć fragmentów ceramiki datowanej na XI-XII w. Według S. Wadyła brak konstrukcji kamiennych bądź spalonych konstrukcji drewnianych świadczy o tym, że albo gród pełnił funkcje refugialne, albo nie został nigdy ukończony⁵.

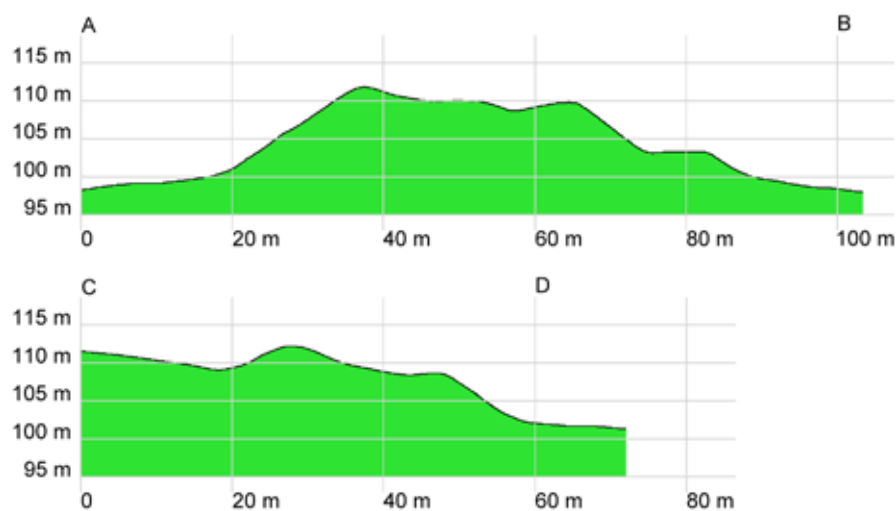
Kolejne badania wykopaliskowe przeprowadzono w ramach realizacji programu *Katalog grodzisk Warmii i Mazur* w 2015 r. Otworzono wówczas dwa wykopy (oznaczone cyframi 1-2) o łącznej powierzchni 90 m² (ryc. 12). Celem badań było ustalenie chronologii i funkcji grodziska. Wykop 1 (27,5 m długości i 3 m szerokości) dłuższą osią zorientowany był po linii wschód-zachód. W obrębie tego wykopu przebadano wewnętrzną część i szczyt wału wschodniego, zagłębienie przywałowe od strony wschodniej, majdan, zagłębienie przywałowe od strony zachodniej oraz wewnętrzną część i szczyt wału zachodniego. Zamiarem badawczym było rozpoznanie nawarstwień i śladów ewentualnych konstrukcji wałów wraz z częścią wewnętrznego obszaru do wałów przylegającego.

Ornowo, gm. Ostróda. Archiwum Muzeum w Olsztynie. Teczka: Ornowo.

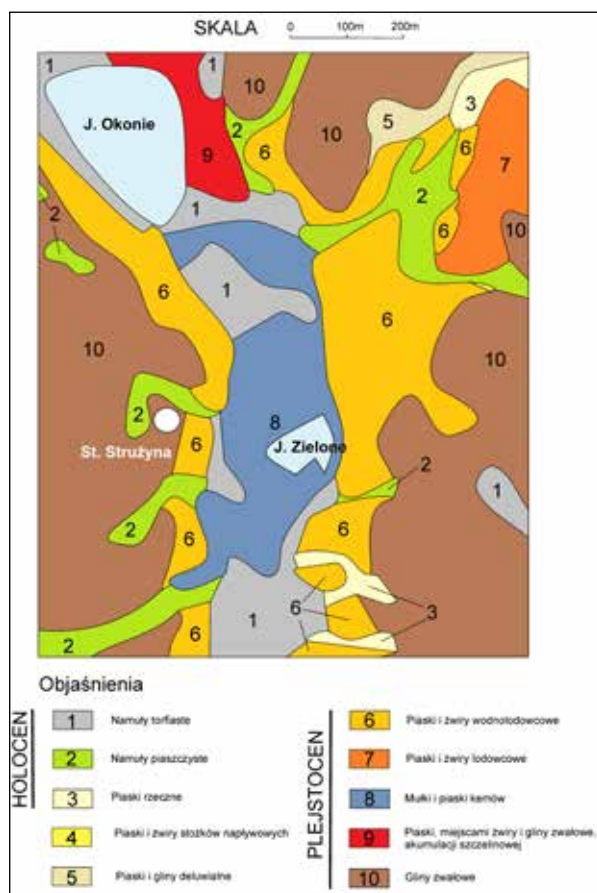
³ Klęczar i Rutyna 2012: 20.

⁴ Wadył 2013: 114. W trakcie badań w 2015 roku nie odkryto kontynuacji tej struktury.

⁵ Wadył 2013: 114.



Ryc. 8. Przekroje grodziska w Morlinach uzyskane z danych ALS (na podstawie materiałów CODGiK, oprac. R. Solecki)



Ryc. 9. Mapa geologiczna okolic grodziska w Morlinach, st. 1 (oprac. J. Nitychoruk i F. Welc)

Wykop 2 (2 m szerokości i 4 m długości) założono 17 m na południe od wykopu 1. Dłuższą osią zorientowany był na linii S-N. Celem badawczym było stwierdzenie bądź wykluczenie istnienia suchej fosy.

Stratygrafia stanowiska

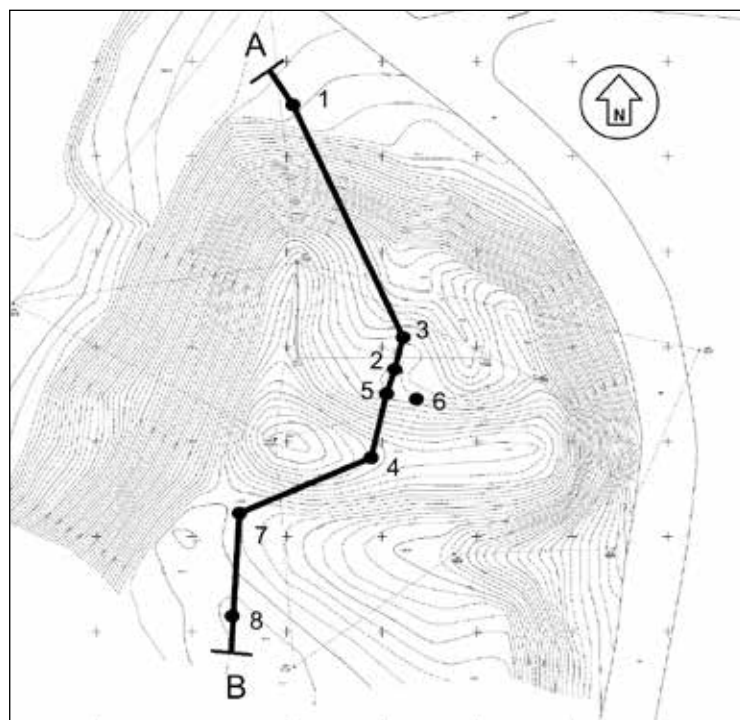
W trakcie badań wykopaliskowych prowadzonych w roku 2015 wydzielono 38 jednostek stratygraficznych, które podzielono na dwie fazy związane z funkcjonowaniem tego stanowiska (tab. 1 i ryc. 13).

Warstwy naturalne

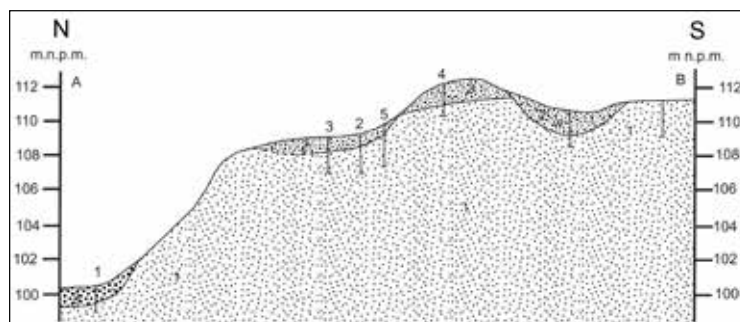
Zadokumentowano następujące warstwy naturalne: 44 (W1) i 41 (W2). Nawarstwienia kulturowe w Wykopie 1 spoczywały na bardzo sypkim, drobnoziarnistym, jednorodnym piasku. Natomiast w Wykopie 2 zalegały na drobnoziarnistym piasku z wytrąceniami żelazistymi.

Faza I

Najstarszy horyzont osadniczy związany jest z budową umocnień, wałów oraz fosy. Zachowana miąższość nawarstwień wału zachodniego dochodzi do 0,4 m.



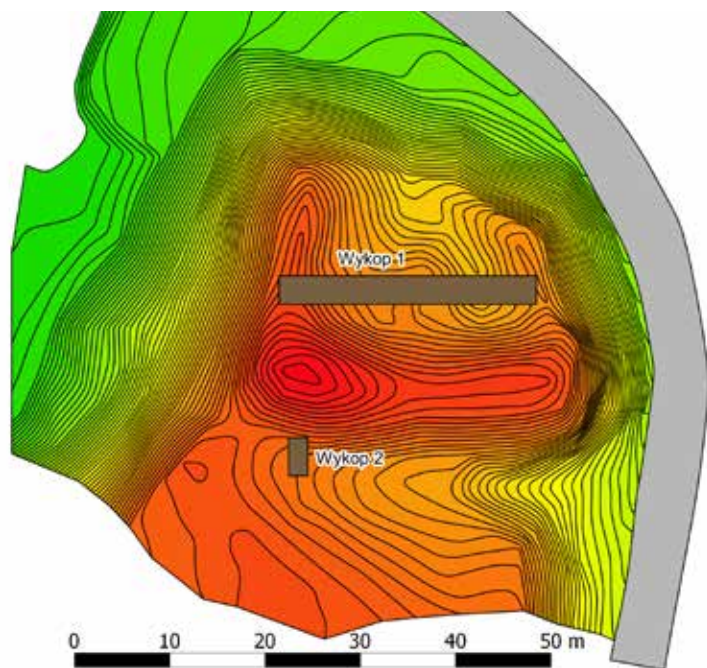
Ryc. 10. Plan warstwiczny grodziska w Morlinach, st. 1 (wyk. J. Błaszczuk) z zaznaczonymi miejscami wierzeń geologicznych (oprac. J. Nitychoruk i F. Welc)



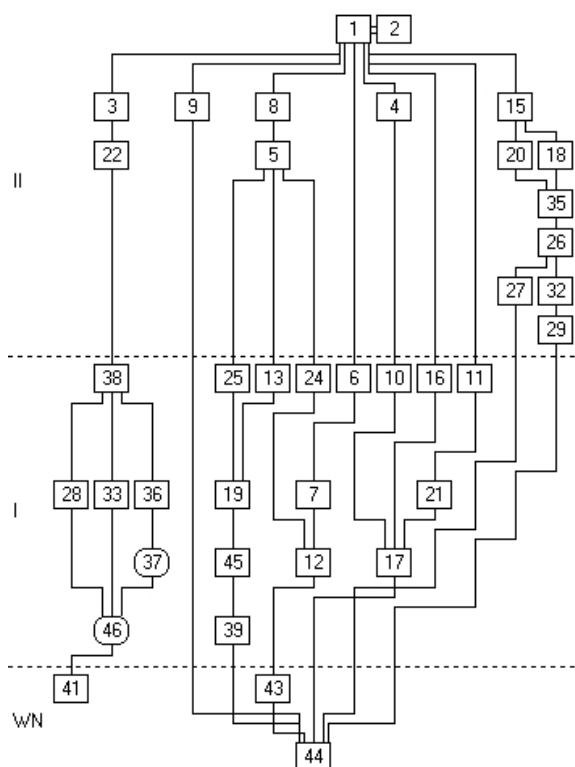
Ryc. 11. Przekrój geologiczny grodziska w Morlinach, st. 1: 1 - piasek drobnoziarnisty, 2 - piasek średnioziarnisty z węglami drzewnymi (warstwa kulturowa), 3 - piasek różnoziarnisty z organiką (oprac. J. Nitychoruk i F. Welc)

Najwyższy jego punkt osiąga poziom 111,60 m n.p.m. Nasyp wału składał się z zalegających w kolejności stratygraficznej warstw: sypkiego, drobnoziarnistego, jednorodnego piasku 12, sypkiego, drobnoziarnistego, niejednorodnego piasku 24 oraz sypkiego, jednorodnego piasku 7, w którym spoczywało skupisko kamieni 6 (około 20 kamieni o średnicy do 25 cm) (ryc. 14-15). Z horyzontem tym należy wiązać powstanie zagłębienia przywałowego W. Na jego dnie, przy północnym ścianie wykopu⁶, zadokumentowano poziom użytkowy reprezentowany przez niejedno-

⁶ Przy południowej ścianie wykopu odkryto narożnik wykopu sondażowego z 2012 roku.



Ryc. 12. Plan warstwowy grodziska w Morlinach, st. 1 z zaznaczonymi wykopami badawczymi z roku 2015 (na podstawie pomiarów J. Błaszczyka, oprac. R. Solecki)



Ryc. 13. Morliny, st. 1. Diagram relacji stratygraficznych (oprac. M. Rutyna)

rodny gliniasty piasek 39, luźno rozrzucone kamienie 45 (25 kamieni, o średnicy do 25 cm), niejednorodny gliniasty piasek 19, w którym zalegało 10 luźno rozrzuconych kamieni (o średnicy do 15 cm) oraz sypki, niejednorodny piasek 16 oraz sypki, jednorodny piasek 13. Ani w zagłębieniu przywałowym E, ani na stoku wału E nie zaobserwowano kontynuacji „murku” odkrytego w trakcie badań w 2012 roku. Na majdanie (W1) grodziska powstał wówczas poziom użytkowy. Tworzył go prosty, kilkuwarstwowy układ stratygraficzny składający się z sypkiego, jednorodnego piasku 17, sypkiego, jednorodnego piasku 21, jednorodnego piasku 11 oraz sypkiego, jednorodnego 10.

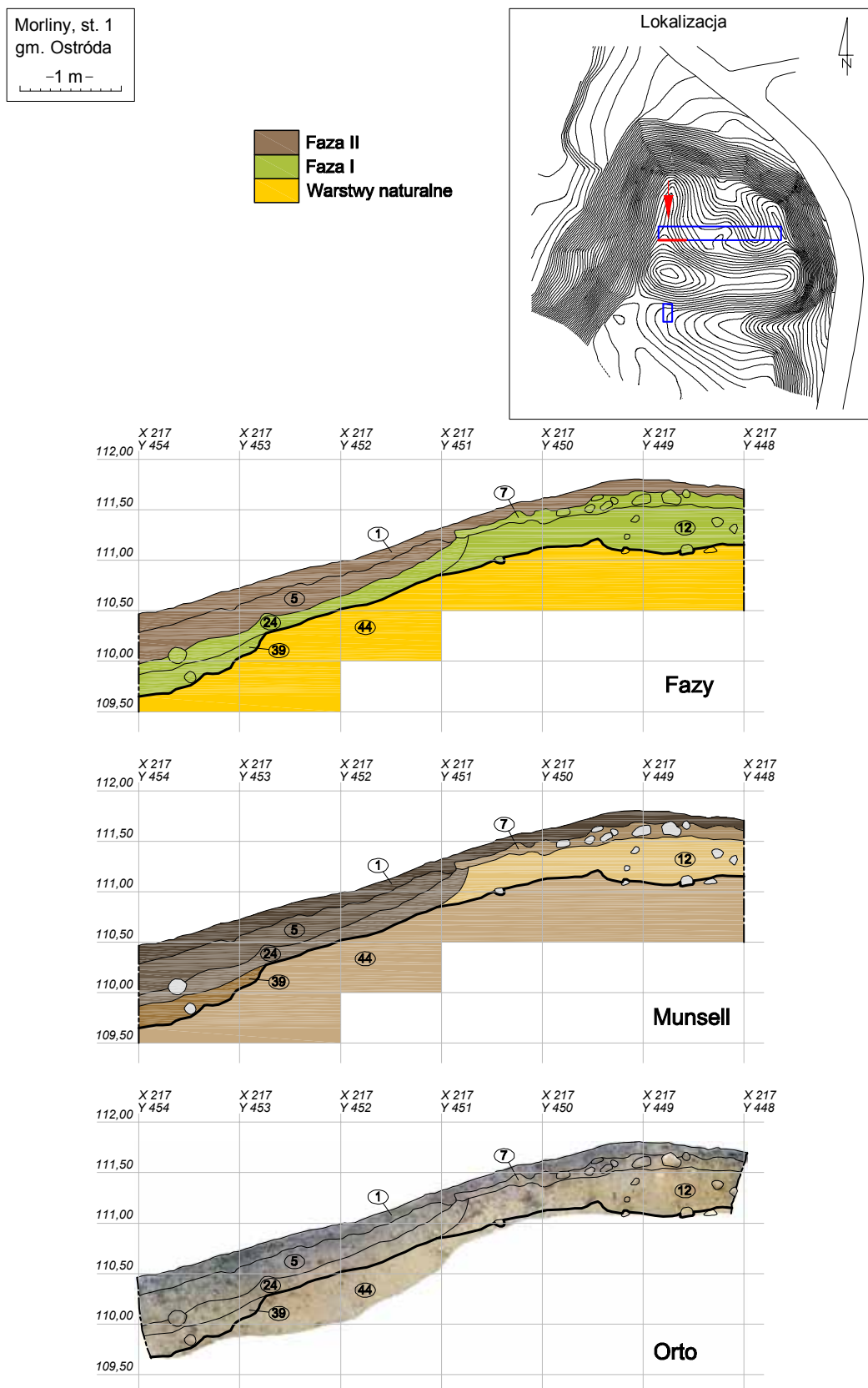
W fazie tej zostało wyprofilowane dno fosy 46 (ryc. 16). Jej szerokość (u góry) wynosi około 4 m, a najniższy punkt znajduje się na poziomie 109,20 m n.p.m. Różnica wysokości pomiędzy dnem fosy, a szczytem wału po osi profilu S-N wynosi około 4 m. Poziom użytkowy w fosie wyznaczają następujące warstwy: drobnoziarnisty piasek z niewielką ilością bardzo drobnych węgli drzewnych 28, w którym zalegały kamienie 33 (10 luźno rozrzuconych kamieni o średnicy do 15 cm) oraz drobnoziarnisty, z dużą ilością węgli drzewnych piasek 38. Na dnie fosy odkryto prawdopodobnie relikty dołu posłupowego 37. Zadokumentowany obiekt, o średnicy ok. 0,25 m i głębokości ok. 0,1 m, w planie posiadał kształt okrągły, w przekroju był nieckowaty. Jego wypełnisko tworzył sypki, jednorodny piasek 36.

Faza II

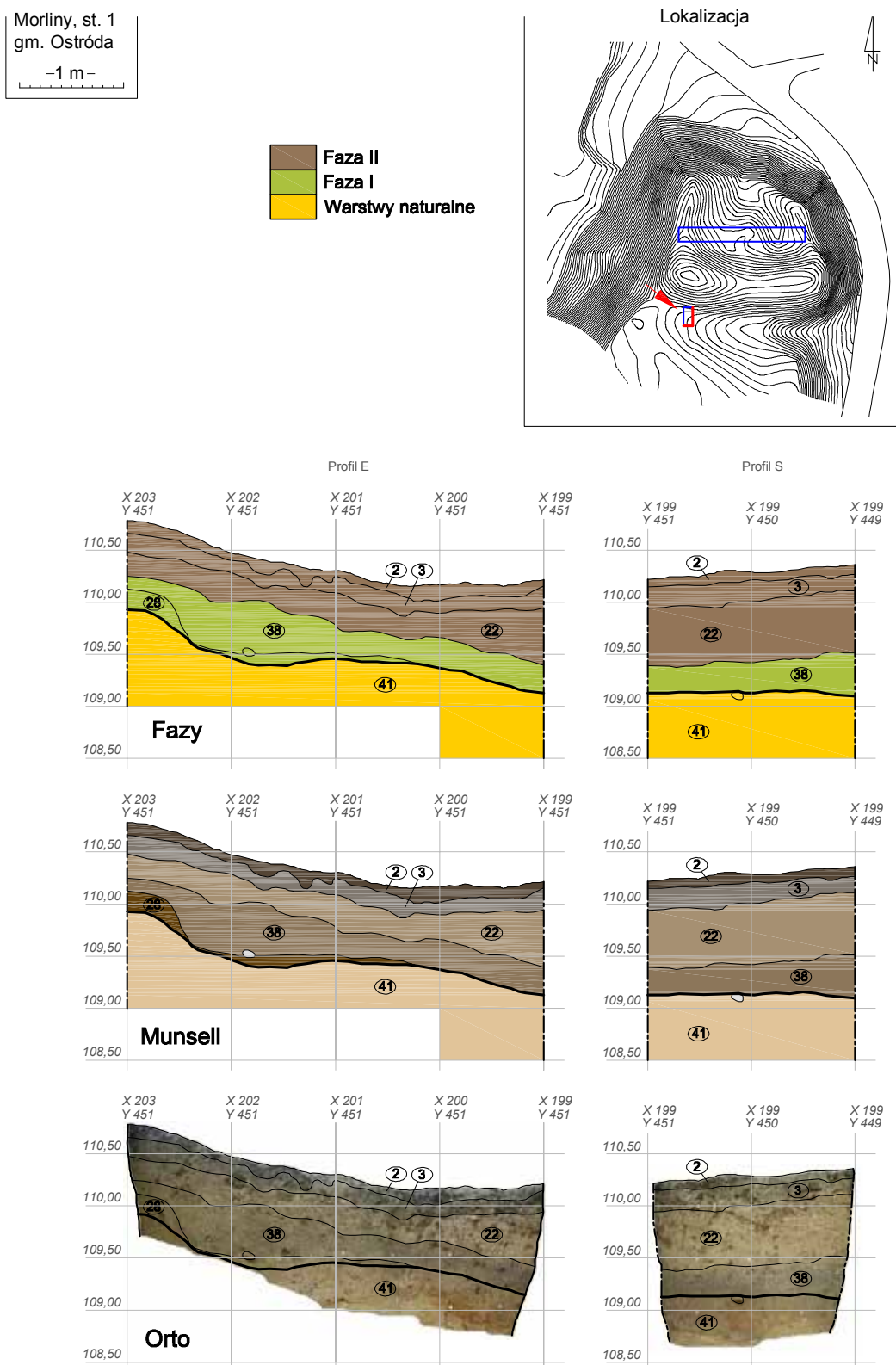
Po opuszczeniu grodziska, zapewne w XIII w., wał uległ daleko idącej erozji i spłynął w kierunku majdanu oraz fosy. W Wykopie 1 faza ta reprezentowana jest przez lekko ziemisty piasek 5, w którym zalegało luźno rozrzucone kamienie 8 (około 10 kamieni o średnicy do 20 centymetrów). W Wykopie 2 z horyzontem tym możemy wiązać: twardy, jednorodny piasek 22 i sypki, jednorodny piasek 3.

Z kolei wał E oraz zagłębienie przywałowe E zostały zniszczone prawdopodobnie w trakcie budowy drogi. Zadokumentowano następujące nawarstwienia: twarda, niejednorodna glina 35, luźne kamienie 32, sypki, niejednorodny piasek z węgielkami drzewnymi 29, niejednorodna glina 27, niejednorodny piasek 26, twarda, niejednorodna glina 18, jednorodna glina 15 oraz niejednorodny piasek 20. Miąższość nawarstwień na wale W dochodziła do 60 cm, natomiast w zagłębieniu W do 80 cm.

Poziom współczesny wyznacza sypki, ziemisty piasek 1=2 (W1, W2).



Ryc. 15. Morliny, st. 1. Stratygrafia wału widoczna w ścianie południowej Wykopu 1 (oprac. M. Rutyna i R. Solecki)



Ryc. 16. Morliny, st. 1. Stratygrafia nawarstwień fosi (oprac. M. Rutyna i R. Solecki)

Tabela 1. Katalog warstw z opisem poszczególnych jednostek stratygraficznych grodziska w Morlinach, st. 1 (oprac. M. Rutyna)

Numer jednostki	Numer obiektu	Numer wykopu	Położenie w obrębie stanowiska	Współrzędne x,y/N,E	Opis jednostki stratygraficznej	Barwa (Munsell)	Pozycja stratygraficzna	
							Znajduje się pod	Znajduje się nad
1=2		1	na powierzchni całego wykopu	X=220-217; Y=448-475,5	Sypki, ziemisty piasek; miąższość do 10 cm; humus	10YR 3/2		4,5
2=1		2	na powierzchni całego wykopu	X=203-199; Y=451-449	Sypki, ziemisty piasek; miąższość do 10 cm; humus.	10YR 3/2		3
3		2	fosa	X=203-199; Y=451-449	Sypki, jednorodny piasek na powierzchni całego wykopu; miąższość do 25 cm; warstwa powstała w wyniku naturalnego narastania gleby		2	22
4		1	majdan	X=218-217; Y=460-462	Bardzo sypki, jednorodny piasek; miąższość do 15 cm; warstwa powstała w wyniku naturalnego narastania gleby	10YR 7/8	1	10
5		1	na E stoku wału W	X=220-217; Y=450-458	Sypki, niejednorodny piasek; miąższość do 10 cm; warstwa powstała w wyniku naturalnego narastania gleby	10YR 4/2	1	24, 13,19
6		1	wał W	X=220-217; Y=449-450	Skupisko 20 kamieni na koronie wału W przy S profilu (śr. do 25 cm)		1	7
7		1	wał W	X=220-217; Y=448-451	Sypki, jednorodny piasek; miąższość do 15 cm; warstwa tworząca nasyp wału	10YR 6/4	1, 6	12
8		1	3	X=220-217; Y=453-456	Kilkanaście luźnych kamieni na stoku E wału W, przy ścianie wykopu (śr. do 15cm); być może są to kamienie z wykopu sondażowego z 2012 r.		1	5
9=14		1	zagłębienie przywałowe W	X=219-217; Y=455-458	Fragment wykopu sondażowego z 2012 r.; tuż przy ścianie S Wykopu 1 w zagłębieniu przywałowym, częściowo na stoku wału W	10YR 7/4; 10YR 5/3	1	44
10		1	majdan	X=220-217; Y=462-470	Sypki, jednorodny piasek; miąższość do 10 cm; warstwa użytkowa	10YR 8/6	1	17
11		1	majdan, stok zagłębienia przywałowego E	X=220-217; Y=458-464	Sypki, jednorodny piasek; miąższość do 10 cm; warstwa użytkowa	10YR 6/2	1	17
12		1	wał W	X=220-217; Y=448-453	Sypki, jednorodny piasek; miąższość do 25 cm; warstwa w nasypie wału	2,5Y 8/6; 10YR 5/4	7	44
13		1	stok E wału W	X=220-217; Y=450-454	Pylasty, sypki, jednorodny piasek; miąższość do 10 cm; poziom użytkowy	10YR 4/2	5	19
15		1	stok wału E	X=220-217; y=469-	Jednorodna, plastyczna glina; miąższość do 15 cm; warstwa powstała w wyniku zniszczenia wału		1	18
16		1	zagłębienie przywałowe W	X=220-217; Y=457-462	Sypki, niejednorodny piasek; miąższość do 15 cm; poziom użytkowy	10YR 5/2	1	17
17		1	majdan	X=220-217; Y=459-468	Bardzo sypki, jednorodny piasek; miąższość do 35 cm; poziom użytkowy	10YR 7/3	11,16	44
18		1	stok zagłębienia przywałowego E i w zagłębieniu przywałowym	X=220-217; Y=469-472,50	Bardzo twardy, jednorodny piasek; miąższość do 25 cm; warstwa powstała w wyniku zniszczenia wału	10YR 6/6	15	35
19		1	stok E wału W	X=220-217; Y=452-457	Niejednorodny gliniasty piasek; miąższość do 20 cm; poziom użytkowy	10YR 5/4	5	39
20		1	zagłębienie przywałowe E	X=220-217; Y=467-470	Niejednorodny piasek; miąższość do 25 cm; warstwa powstała w wyniku zniszczenia wału	10YR 6/3	15	35
21		1	majdan	X=218-219; Y=462-464	Sypki, jednorodny piasek; miąższość do 10 cm; poziom użytkowy	10YR 7/2	11	17
22		2	fosa	X=203-199; Y=451-449	Sypki, jednorodny piasek; miąższość do 60 cm; warstwa powstała w wyniku naturalnego narastania gleby		3	38
24		1	stok wału W	X=220-218; Y=450-454	Sypki, jednorodny piasek; miąższość do 25 cm; poziom użytkowy	10YR 5/2	5	12
25		1	zagłębienie przywałowe W	X= 200-218; Y=455-456	10 luźno rozrzuconych kamieni, o śr. do 15 cm, zalegających w warstwie 19		5	19
26		1	wał E	X=220-217; Y=472,80-474,5	Sypki, jednorodny piasek; miąższość do 15 cm; warstwa powstała w wyniku naturalnego narastania gleby	10YR 4/4	35	27, 44
27		1	wał E	X=220-217; Y=474,5-475,5	Niejednorodna glina; miąższość do 30 cm; warstwa powstała w wyniku naturalnego narastania gleby	10YR 4/6	26, 35	44
28	46	2	fosa	X=203-202,5; Y=451-449	Sypki, niejednorodny piasek z węgielkami drzewnymi; miąższość do 25 cm; poziom użytkowy	10YR 3/6	38	46

Tabela 1. Ciąg dalszy

29		1	wał E	X=219-219,40; Y=473,2-474,5	Sypki, niejednorodny piasek z węgielkami drzewnymi; miąższość do 10 cm; warstwa powstała w wyniku naturalnego narastania gleby	10YR 6/3	26	44
32		1	wał E	X=219-219,40; Y=473,2-474,5	5 luźno rozrzuconych kamieni o śr. do 20 cm		26	29
33		2	fosa	X=202-201; Y=451-450	10 luźno rozrzuconych kamieni o śr. do 15 cm		38	46
35		1	zagłębienie przywałowe E	X=220-218; Y=458-472,5	Twarda, niejednorodna glina; miąższość do 70 cm; warstwa powstała w wyniku zniszczenia wału	10YR 5/4	18, 15	26, 44
36	37	2	fosa	X=201,2-200,45; Y=451,25-450,5	Sypki, jednorodny piasek; wypełnisko obiektu 37	10YR 3/2	38	37
37	37	2	fosa	X=201,2-200,45; Y=451,25-450,5	Dół postłupowy, o śr. ok. 0,25 m i gł. ok. 0,1 m, kształt w planie okrągłym, w przekroju nieckowaty		36	46
38	46	2	fosa	X=200,5-199; Y=451-449	Sypki, jednorodny piasek; miąższość do 35 cm; poziom użytkowy	10YR 5/3	22	28, 46
39		1	stok wału W	X=220-217; Y=454,5-456	Sypki, niejednorodny gliniasty piasek; miąższość do 15 cm; poziom użytkowy	10YR 5/6	19	44
41		2	fosa	X=203-199; Y=451-449	Sypki, jednorodny piasek; calec	10YR 8/4	38	
43		1	wał i E stok wału W		10 luźno rozrzuconych kamieni, o śr. od 10 do 60 cm, na wale i na E stoku wału W		12	44
44		1	wał, zagłębienia przywałowe, majdan	X=220-217; Y=448-475,5	Gliniasty piasek; calec	10YR 7/4	12, 39	
45		1	na stoku wału W i w zagłębieniu przywałowym W	X=220-217; Y=452-457	25 luźno rozrzuconych kamieni, o śr. do 20 cm; poziom użytkowy		19	39
46	46	2	fosa	X=203-199; Y=451-449	Fosa; jej szerokość (u góry) wynosi ok. 4 m, a najniższy punkt znajduje się na poziomie 109,20 m n.p.m.; różnica wysokości pomiędzy dnem fosy, a szczytem wału po osi ściany S-N wynosi ok. 4 m		38, 28	41

ZNALEZISKA

Ceramika

Jedyną grupę zabytków znalezionych podczas badań grodziska w Morlinach, st. 1 stanowiła ceramika, której odnaleziono 305 fragmentów.

Ceramika wczesnośredniowieczna

Formy naczyń

Materiał ceramiczny pozyskany w trakcie badań wykopaliskowych w 2015 r. jest silnie rozdrobniony (254 fragmenty ma wielkość poniżej 5 cm zob. tab. 3). Tylko 9 fragmentów wylewów (tab. 2) pozwala na przynajmniej częściowe zrekonstruowanie formy naczynia. Typologię naczyń opracowano na podstawie analizy fragmentów większych górnych części⁷. Uwzględniono następujące kryteria: kształt krawędzi wylewu, średnica wylewu, funkcję, którą naczynie prawdopodobnie pełniło. Na tej podstawie wydzielono jeden typ morfologiczny.

⁷ W opracowaniu uwzględniono fragmenty brzegowe o wielkości powyżej 5% zachowanego wylewu.

Typ I Garnki

Podtyp IAa odmiana reprezentowana przez jedno duże naczynie szerokootworowe, o powierzchni zagładzanej (tabl. 1:1).

Podtyp IAb odmiana reprezentowana przez jedno średniej wielkości naczynie szerokootworowe, o powierzchni gładkiej (tabl. 1:4).

Podtyp IB odmiana reprezentowana przez jeden średniej wielkości garnek baniasty, o powierzchni zagładzanej (tabl. 1:2).

Podtyp IC odmiana reprezentowana przez jeden duży garnek, o krawędzi mocno wychylonej na zewnątrz i powierzchni szorstkiej (tabl. 1:3).

Motywy ornamentacyjne

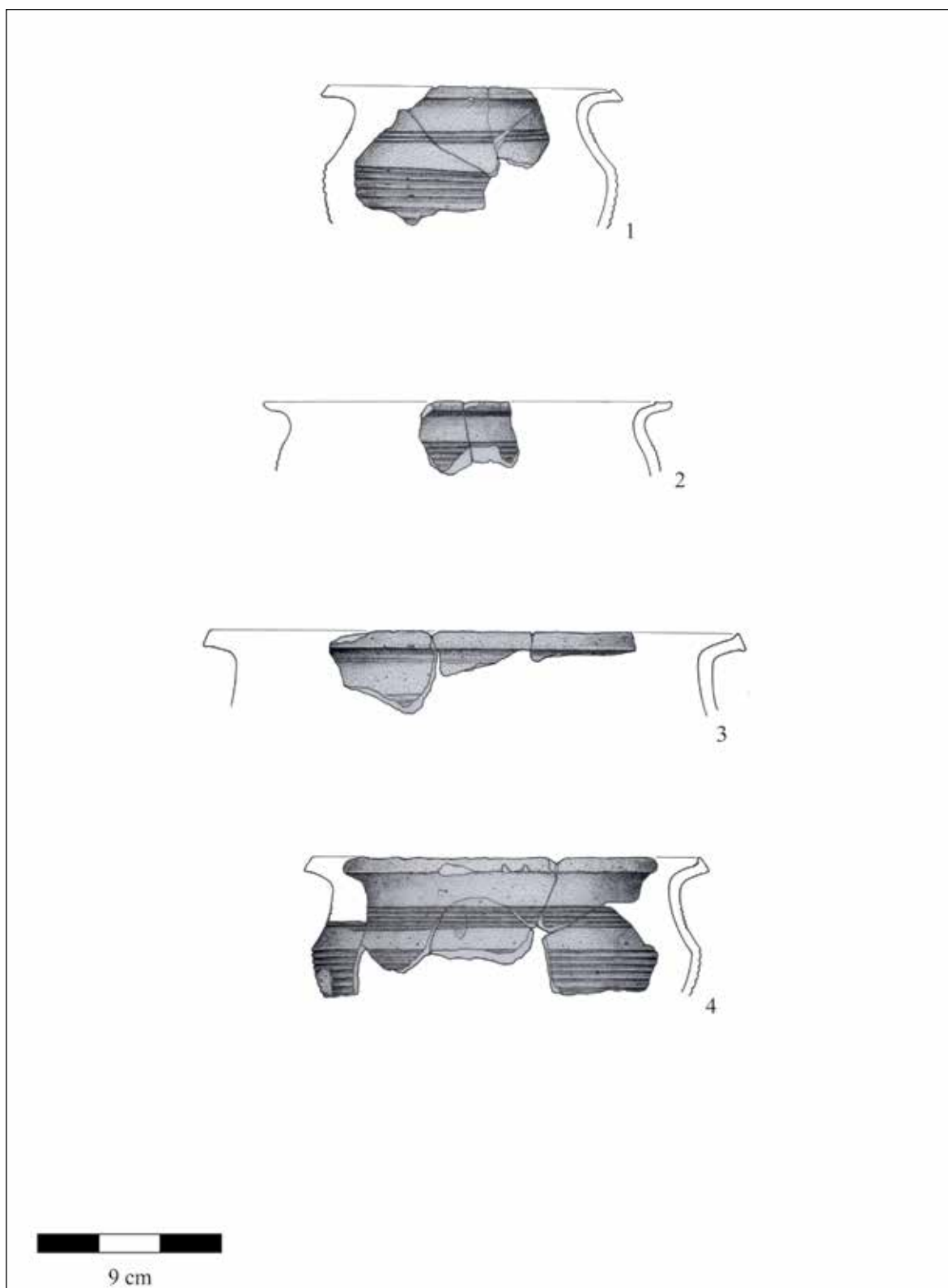
W omawianym materiale 140 fragmentów brzuśców oraz 11 fragmentów wylewów (łącznie 151 fragmentów, 49,8% zbioru) zdobionych było ornamentem. Dominował ornament żłobków dookólnych (143 fragmenty, 94,7% zbioru). Tylko kilka fragmentów ozdobiono linią falistą (8 fragmentów, 5,3% zbioru).

Tabela 2. Zestawienie ilościowe fragmentów ceramiki z grodziska w Morlinach, st. 1 (oprac. M. Rutyna)

Jednostka stratygraficzna	Liczba fragmentów łącznie	Liczba różnych naczyń	Wylewy			Brzuśce					Części przydenne	Fragmenty o wypukłej powierzchni	Wczesne średniowiecze	Późne średniowiecze/ Nowożytność	Typologia
			Liczba fragmentów	SEN (procent obwodu)	Ornamentowane	Liczba fr. ogółem	Gładkie	Szorstkie	Nieokreślone	Ornamentowane					
10	3					1	1				2		3		
9	10					9	6	1	2	5	1	2	10		
11	24	2	3	9	1	21	17	2	2	13		3	24		
7	1					1	1						1		
16	23					22	8	4	10	9	1	10	23		
17	36	4	5	36	2	30	25	3	2	7	1	2	36		IAb
13	23					22	15	3	4	14	1	4	23		
21	5					5	3	1	1	1		1	5		
19	17	2	2	7		15	6	3	8	9		8	17		
24	64	5	7	33	3	57	38	16	3	47		9	64		IC
12	6	1	1	2		4	4			1	1	1	6		
38	7					7		2	5	1		6	7		
39	1					1			1			1	1		
1	15	1	1	4		14	7		6	5		6	14	1	
5	14					14	7	3	4	9		5	14		
15	5					5	1	3	1	3		2	5		
18	8					7	4	1	2	3	1	4	8		
22	3					3	2		1			1	3		
26	4	1	2	6	2	2	2			2			4		IB
27	36	2	5	13	3	30	7	6	16	11	1	16	35	1	IAa
Suma	305	18	26	110	11	270	154	48	68	140	9	81	303	2	

Tabela 3. Fragmentacja i erozja fragmentów ceramiki z grodziska w Morlinach, st. 1 (oprac. M. Rutyna)

Jedn. strat.	Kategorie wielkościowe [cm]										Stopień erozji				Suma
	1	2	3	4	5	6	7	8	9	10	0	I	II	III	
10		1	1		1								2	1	3
9		6		1		1	2						5	5	10
11		6	9	7	2							18	4	2	24
7			1										1		1
16	3	9	6	2	2	1						2	15	6	23
17		7	9	8	6	3		2		1		1	30	5	36
13	1	8	6	6	1	1						9	11	3	23
21		5										3	2		5
19	3	5	4	4	1							1	9	7	17
24	2	12	18	17	9	2	4					41	18	5	64
12	1	4		1								3	2	1	6
38	1	3	3									1	1	5	7
39			1										1		1
1		6	7	2								4	4	7	15
5	2	7	3		2							2	8	4	14
15			3	1	1							1	3	1	5
18		2	2	2	1	1						1	4	3	8
22			2			1							3		3
26				2	1	1						4			4
27		9	13	10	3	1						4	16	16	36
												95	139	71	305
Suma	13	90	88	63	30	12	6	2		1		95	139	71	305



Tablica 1. Morliny, st. 1. Ceramika z grodziska (rys. M. Rutyna)

Grupy technologiczno-surowcowe

GTS 1 - Masa ceramiczna zawierała znaczną ilość domieszki schudzającej - głównie szamotu oraz tłucznia. Naczynia wypalano w atmosferze utleniającej. Ścianki mają barwę jasnopomarańczową, pomarańczową, brązową i szarą. Przełam zwykle dwubarwny, rzadziej trójbarwny. Grubość ścianki wynosi około 3-10 mm. Powierzchnia zewnętrzna zwykle była gładka (154 fragmenty, 50,8% zbioru), rzadziej szorstka (48 fragmentów, 15,8% zbioru).

Ceramika późnośredniowieczna

W czasie badań grodziska w Morlinach, st. 1 znaleziono tylko dwa mocno zniszczone fragmenty brzuśców (wielkości poniżej 3 cm) datowane na czasy nowożytnie. Naczynia te wykonano z dobrze wyrobionej masy ceramicznej z małą ilością drobnej domieszki schudzającej piasku. Powierzchnia zewnętrzna i wewnętrzna jest gładka. Grubość ścian wynosi 3-6 mm. Barwa ścian to szary i ciemny szary. Przełam jest jednobarwny.

SZCZĄTKI ARCHEOBOTANICZNE

MARIA LITYŃSKA-ZAJĄC
I MAGDALENA MOSKAL-DEL HOYO

Ze stanowiska 1 w Morlinach przebadano 10 prób archeobotanicznych, z których cztery zebrano w nawarstwieńiach wczesnośredniowiecznych i 1 pochodzi z późnego średniowiecza (tab.4). Pięć pozostałych prób nie zawierało żadnych pozostałości roślinnych. Wśród szczątków zwęglonych oznaczono 179 okazów⁸. Natrafiono także na sklerocja grzyba czarniaka właściwego *Cenococcum geophilinum* oraz nieliczne materiały niespalone, stanowiące prawdopodobnie zanieczyszczenie dzisiejsze.

Z okresu wczesnego średniowiecza szczątki roślinne reprezentowane są jedynie przez węgle drzewne, wśród których wystąpiło 10 taksonów (8 określonych

⁸ Opis metody: Lityńska-Zajac i Moskal-del Hoyo 2016.

Tabela 4. Spalone i niespalone szczątki roślinne ze stanowiska z wczesnego i późnego średniowiecza w Morlinach, st. 1. Objaśnienia: typ szczątku: o – owoc, n – nasiono, d – drewno, sc – sklerocja (oprac. M. Lityńska-Zajac i M. Moskal-del Hoyo).

Nazwa taksonu	Chronologia	Wczesne średniowiecze				Późne średniowiecze	Suma
	Numer jednostki stratygraficznej	24	27	38=40=42		22	
	Typ szczątku	Szczątki spalone					
<i>Chenopodium album</i>	n					11	11
<i>Carpinus betulus</i>	d	11	16	7	2	7	43
<i>Corylus avellana</i>	d		1	1		4	6
<i>Pinus sylvestris</i>	d		3	15			18
<i>Populus</i> sp. vel <i>Salix</i> sp.	d		3			1	4
<i>Betula</i> sp.	d		2			1	3
<i>Quercus</i> sp.	d	9	23	2	23	2	59
<i>Tilia</i> sp.	d	4			5		9
Betulaceae indet.	d			3		1	4
Maloideae indet.	d			11			11
liściaste	d	1	2	3		1	7
nieoznaczony	d	1		2		1	4
Suma		26	50	44	30	29	179
<i>Cenococcum geophilinum</i>	sc	50	10	50	100	50	260
Szczątki niespalone							
<i>Ajuga reptans</i>	o	9		22			31
<i>Chenopodium album</i>	n				1		1
<i>Rumex crispus</i>	o	1		1			2
<i>Rumex obtusifolius</i>	o			3			3
<i>Veronica arvensis</i>	n		2	2			4
<i>Viola arvensis</i>	o	1			2		3
<i>Trifolium</i> sp.	n			1			1
Apiaceae indet.	o				1		1
<i>Carpinus betulus</i>	o	1	2		2		5
<i>Rubus</i> sp.	n		1	2			3
<i>Tilia</i> sp.	o		1				1
Suma		12	6	31	6		55

jako minimalna liczba taksonów). Trzy z nich oznaczono do poziomu gatunków (grab zwyczajny *Carpinus betulus*, leszczyna pospolita *Corylus avellana* i sosna zwyczajna *Pinus sylvestris*), i dalsze trzy do poziomu rodzaju (brzoza *Betula* sp., dąb *Quercus* sp. i lipa *Tilia* sp.). Nieliczne fragmenty spalonego drewna opisano jako wierzbę *Salix* sp. lub topolę *Populus* sp., Maloideae oraz drzewa i/lub krzewy liściaste. Fragmenty dębu i graba były najliczniejsze oraz napotkano na nie we wszystkich próbach z tego okresu.

W próbie datowanej na okres późnego średniowiecza znaleziono nasiona komosy białej *Chenopodium album* oraz węgle drzewne, wśród których wystąpiło 5 taksonów określonych jako minimalna liczba taksonów: grab zwyczajny *Carpinus betulus*, *Corylus avellana*, brzoza *Betula* sp., dąb *Quercus* sp. oraz wierzbę *Salix* sp. lub topolę *Populus* sp.

CHRONOLOGIA STANOWISKA

MAGDALENA RUTYNA

Na podstawie analizy materiału ceramicznego chronologię stanowiska można ustalić na XII-XIII w. Niestety nie przyniosło bardziej precyzyjnego ustalenia chro-

nologii datowanie radiowęglowe. Do analizy wybrano fragment węgla drzewnego z warstwy użytkowej 40 w fosie (W2). Datowanie po kalibracji dało przedział lat 1671-1779 (40,8%), 1798-1892 (39,6%), 1907-1943 (15,0%) z prawdopodobieństwem 95,4%. Prawdopodobnie próbka została zanieczyszczona w trakcie pobierania⁹.

DZIEJE GRODZISKA W MORLINACH, ST. 1

We wczesnym średniowieczu, najprawdopodobniej w XII w. (Faza I) wzniesiono ziemny wał (W1) oraz wyprofilowano dno fosy (W2) grodu. Z horyzontem tym można wiązać odkryty na majdanie i w fosie poziom użytkowy, który powstał prawdopodobnie w momencie budowy umocnień. Niewielka ilość ceramiki (303 fragmenty) datowanej na ten okres oraz brak konstrukcji kamiennych lub konstrukcji drewnianych może świadczyć o tym, że miejsce to pełniło funkcję refugium. W XIX w. w trakcie budowy drogi została zniszczona wschodnia część grodziska – wał i zagłębienie przywałowe.

⁹ Kobyliński 2016.